



بررسی استفاده از ماکرو جلبک گراسیلاریا و آرتمیا جهت حذف ترکیبات ازت و فسفر از آب‌های خروجی مزارع پرورش میگو

رؤیا پژمان، علیرضا سالارزاده*، دلارام نخبه زارع

گروه شیلات، واحد بندرعباس، دانشگاه آزاد اسلامی، بندرعباس، ایران

نوع مقاله:	چکیده
پژوهشی	
تاریخچه مقاله:	
دریافت: ۹۷/۰۵/۱۰	
اصلاح: ۹۷/۱۰/۲۵	
پذیرش: ۹۷/۱۰/۲۸	
کلمات کلیدی:	
آرتمیا	
پساب	
فیلترکننده زیستی	
مواد مغذی	
<i>Gracilaria</i>	

یوتروف شدن آب‌های ساحلی به‌وسیله فعالیت‌های انسانی، تبدیل به مشکل رایجی در بسیاری از کشورها شده است. این فرآیند هر چند به افزایش بهره‌وری اولیه کمک خواهد نمود ولی اغلب تغییرات نامطلوبی را در ساختار و کارکرد سیستم‌های آبی‌پروری ایجاد می‌نمایند. در دهه‌های اخیر، یوتروف شدن به‌وسیله آبی‌پروری تبدیل به نگرانی ثابت مقامات دولتی شده که پساب‌های زیادی را تولید می‌کند. این مواد زائد اکثراً مواد دفعی و غذاهای خورده نشده بوده، که در نهایت باعث افزایش مواد مغذی آب مخصوصاً نیتروژن و فسفر خواهد گردید (Beveridge, 1996). یکی از نگرانی‌های زیست‌محیطی عمده در پرورش آبزیا، تخلیه مستقیم پساب‌های خروجی مزارع آبی‌پروری در آب‌های ساحلی است. آلودگی این پساب‌ها، غنی‌سازی ارگانیک، رسوب‌گذاری و سمیت را افزایش می‌دهد. مجموعه این عوامل منجر به تنزل اکوسیستم‌های ساحلی و در نتیجه باعث زیان رساندن به تنوع زیستی خواهد شد (Chopin et al., 2010). اگرچه آب، دریافت‌کننده اصلی مواد زائد محلول از سمت آبی‌پروری است، اما نسبت قابل ملاحظه‌ای از مواد جامد درون استخرها، کانال‌های تخلیه یا در مجاورت مزارع باقی می‌ماند

* نویسنده مسئول، پست الکترونیک: reza1375bandar@yahoo.com

(Funge-Smith and Briggs, 1998). هم محیط پرورش آبزبان و هم زیستگاه‌های ساحلی که فعالیت در آن‌ها انجام می‌گیرد، میزان بالایی از فعالیت بیولوژیکی و تجزیه مواد آلی را نشان می‌دهند.

اخیراً، تأکید خاصی بر رویکردهای توسعه پایدار در پرورش آبی ساحلی شده است. از این منظر، ارتقاء رویکردهای اکولوژیکی برای بهبود سلامت اکوسیستم بسیار مورد استقبال قرار گرفته است (Costa-Pierce, 2002). این موارد شامل تصفیه آب، مدیریت پساب و خود پالایی بیولوژیکی توسط بعضی موجودات زنده می‌باشد. ثابت شده است که استفاده از ارگانوسم‌های فیلتر کننده به‌عنوان استخراج‌کنندگان مواد مغذی (آلی و غیر آلی) گزینه‌ی مناسبی برای زیست پالایی مواد مغذی هستند. رایج‌ترین ارگانوسم‌های آزمایش شده، قارچ‌ها هستند که ذرات ارگانیک و فیتوپلانکتون را فیلتر می‌کنند و سپس جلبک‌های دریایی هستند که مواد مغذی غیر ارگانیک محلول را جذب می‌کنند (Chopin et al., 2010). اخیراً، استفاده از سایر گروه‌های حیوانات فیلتر کننده متعلق به گروه اسفنج‌های پوریفرا و کرم‌های حلقوی (آنلیدا) نیز مورد بررسی قرار گرفته است (Milanese et al., 2003; Giangrande et al., 2005). توانایی جلبک دریایی برای پاسخگویی به در دسترس بودن ورودی مغذی انسانی (نیروژن و فسفر)، آن را تبدیل به ابزاری مؤثر برای زیست پالایی نموده است (Neori et al., 2004). جلبک‌ها علاوه بر حذف مواد مغذی از فاضلاب‌ها و پسماندها، کاربردهای متعددی چون تولید مواد فیزوسلوئید و زیست فعال نیز دارند. در مقابل موجودات فیلتر کننده نیز نقش مهمی در بهبود و پالایش فاضلاب دارند. این ارگانوسم‌ها، ذرات مواد آلی را فیلتر نموده و از افزایش مواد مغذی در پیکره آب جلوگیری می‌کنند. بیشتر مطالعات منتشر شده درباره موجودات فیلتر کننده با سخت‌پوستان انجام شده است (Elliott et al., 2008; Jones et al., 2001; Qian et al., 2012). مطالعاتی که با اسفنج‌ها (Stabilli et al., 2006, 2008) و کرم‌های پرتار (Licciano et al., 2005) صورت گرفته‌اند، نادر هستند و بیشتر بر میزان تصفیه و حذف باکتری از پیکره آب تمرکز دارند. آرتمیا یک سخت‌پوست کوچک غیرانتخابی است که ذرات آلی، جلبک و باکتری‌ها را مصرف می‌کند (Lenz and Browne, 1991). آرتمیا با جذب ذرات به‌عنوان غذا، قادر به کاهش کدورت و حذف مواد مغذی از آب خواهد شد. اگرچه این نوع آبی طبیعتاً در محیط‌های با شوری بالا رشد می‌کند اما به لحاظ فیزیولوژیکی آماده زندگی در طیف گسترده‌ای از درجات شوری (۵ تا ۲۵۰ ppt)، دما (۵ تا ۴۰ درجه سانتی‌گراد) و ترکیب یونی (آب کلرید، سولفات و کربنات) نیز خواهد بود (Lenz and Browne, 1991). آرتمیا با توانایی‌اش برای فیلتر ذرات به‌عنوان غذا، می‌تواند با حذف فیتوپلانکتون، مواد باقیمانده و ذرات غیر ارگانیک، به خود پالایی آب کمک نماید. این کار به کاهش کدورت آب و افزایش دسترسی نور برای ارگانوسم‌های فتوسنتز کننده، کمک می‌کند. این ظرفیت فیلتر نمودن در دست‌کاری زیستی آب‌های یوتروف و تبدیل شکوفایی جلبکی به پروتئین حیوانی نیز مورد استفاده قرار می‌گیرد (Lavens and Sorgeloos, 1996). انواع گونه‌های آرتمیا در طول سال در صنعت آبی‌پروری کشور و نیز صنعت میگو در جنوب کشور و استان هرمزگان استفاده می‌گردد و تبدیل به دارایی مهمی برای توسعه صنعت آبی‌پروری محلی شده است (Camara et al., 2004). جلبک گراسیلاریا به طور طبیعی در نوار ساحلی بندر کوهستک پراکنش و رشد داشته و بندرت توسط ساکنین محلی جمع‌آوری می‌شود. مطالعه کنونی در مقیاس آزمایشگاهی، پتانسیل زیست پالایی جلبک گراسیلاریا و آرتمیا را برای یافتن راه‌حلی به منظور جلوگیری از یوتروف شدن آب‌های ساحلی به‌واسطه فعالیت‌های آبی‌پروری را مورد بررسی قرار داده است.

مواد و روش‌ها

مکان انجام این مطالعه بندر کوهستک واقع در شرق استان هرمزگان بود. برای انجام کار ابتدا ماکرو جلبک‌های قرمز گراسیلاریا کورتیکاتا (*Gracilaria corticata*) از نوار ساحلی جمع‌آوری گردید (Sohrabipour and Rabii, 1999; Silva et al., 1996). سپس با آب شیرین شستشو داده و تمامی موجودات و مواد زائد از جلبک‌ها جدا شد. در ادامه مقداری از آب خروجی یکی از استخرهای پرورش میگو در منطقه کوهستک جمع‌آوری گردید. همچنین مقداری از سیستم آرتمیای خریداری شده را طبق دستورالعمل Camara و همکاران (۲۰۰۴) هچ نموده و ناپلی‌ها تازه تفریح شده را در کارگاه تکثیر میگو کوهستک به مدت یک هفته پرورش داده تا به مرحله بلوغ برسند (Lenz and Browne, 1991).

فاز آزمایشی در این مطالعه شامل سه تیمار بود. تیمار اول ۱۰ لیتر آب خروجی استخر میگو حاوی ۲۰ گرم جلبک قرمز گراسیلاریا بود. تیمار دوم ۱۰ لیتر آب خروجی مزرعه میگو حاوی ۱۰۰ عدد آرتیمیا بالغ بود و نهایتاً تیمار سوم ۱۰ لیتر آب خروجی استخر میگو حاوی ۲۰ گرم جلبک قرمز گراسیلاریا و ۱۰۰ عدد آرتیمیا بالغ بود.

برای هر تیمار ۳ تکرار در نظر گرفته شد و در مجموع آزمایش در ۱۲ سطل انجام گردید. نوردهی نیز با کمک لامپ مهتابی نصب شده در بالای سطل‌ها به میزان ۱۲ ساعت تاریکی و ۱۲ ساعت روشنایی انجام شد. هوادهی نیز با استفاده از پمپ اکسیژن مخصوص آکواریوم و به صورت متمرکز جهت تمامی سطل‌ها در نظر گرفته شد.

طول کل مدت آزمایش به مدت ۷۲ ساعت بود؛ قبل از شروع آزمایش میزان آمونیم، نیتريت، نیترات و فسفات در تمامی سطل‌ها اندازه‌گیری شد؛ و در بازه‌های زمانی ۲۴، ۴۸ و ۷۲ ساعت بعد نیز تکرار شد. در نهایت نمونه‌های جمع‌آوری شده از تمامی سطل‌ها به آزمایشگاه پژوهشکده اکولوژی خلیج فارس جهت سنجش دستگاهی منتقل گردید و با استفاده از دستگاه اسپکتروفتومتر اندازه‌گیری صورت گرفت.

نمونه‌برداری آب برای سنجش مواد در تیمارهای مورد بررسی (نیترات، نیتريت، آمونیم و فسفات) از تمامی سطل‌ها برداشت شد. سپس نمونه‌ها پس از جمع‌آوری تحت شرایط خاص (در دمای ۴ درجه سانتی‌گراد توسط پودر یخ) نگهداری و پس از انتقال به آزمایشگاه پژوهشکده اکولوژی خلیج فارس، با استفاده از پمپ خلاء و کاغذهای میلی پور^۱ با قطر ۴۵ میکرون فیلتر و تا زمان آنالیز دستگاهی توسط اسپکتروفتومتر در فریزر نگهداری شدند (Strickland and Parsons, 1972).

اکسیژن توسط دستگاه اکسیژن‌متر پرتابل (مدل HANNA HI9146) اندازه‌گیری گردید. درجه حرارت و pH با استفاده از دستگاه پرتابل (HANNA HI991001) و جهت اندازه‌گیری شوری نیز از شوری‌سنج چشمی (ATAGO) استفاده گردید.

داده‌ها بعد از جمع‌آوری در نرم‌افزار اکسل وارد شده، سپس با کمک نرم‌افزار SPSS مورد تحلیل قرار گرفت. برای بررسی نرمال بودن داده‌ها از آزمون گلموکروف اسمیرنوف استفاده گردید. برای تحلیل داده‌ها از روش آنالیز واریانس چند طرفه و برای مقایسه میانگین‌ها از آزمون چند دامنه‌ای دانکن در سطح اطمینان ۵ درصد استفاده شد (Zar, 2009).

نتایج

در طول آزمایش، متغیرهای زیست‌محیطی شامل دما، اکسیژن محلول، pH و شوری تغییر قابل توجهی نداشتند و اختلاف معنی‌داری بین تیمارهای مختلف آزمایشی در ساعات مختلف مورد بررسی مشاهده نگردید ($p > 0/05$). شکل‌های ۱ تا ۴ وضعیت متغیرهای فوق‌الذکر را نشان می‌دهند. جدول ۱ خلاصه نتایج به دست آمده در تیمارهای مختلف جهت عوامل مختلف اندازه‌گیری شده را نشان می‌دهد.

شکل ۵ میزان آمونیم را در تیمارهای مختلف آزمایشی را نشان می‌دهد و بیانگر آن است که بین تیمارهای مختلف و نیز در ساعات مختلف بررسی از نظر غلظت آمونیم اختلاف معنی‌دار وجود دارد ($P < 0/05$). در تیمار ۱ (گراسیلاریا) غلظت آمونیم از ۱۱/۸۴ میکرومول بر لیتر در شروع آزمایش بعد از ۴۸ ساعت به ۹/۱۴ میکرومول بر لیتر کاهش یافته، یعنی تقریباً ۲۳ درصد از میزان غلظت آمونیم در این تیمار کاسته شد. با این وجود تا پایان آزمایش در تیمار مذکور افزایش کوچکی در غلظت آمونیم (۱۳/۱۸ میکرومول بر لیتر) در مقایسه با شروع آزمایش (۱۱/۸۴ میکرومول بر لیتر) مشاهده گردید و به میزان ۱۱/۳۱ درصد افزایش یافت.

در تیمار دوم (گراسیلاریا + آرتیمیا) میزان غلظت آمونیم در ساعات مختلف آزمایش اختلاف معنی‌داری را نشان داد ($P < 0/05$)؛ غلظت آمونیم در شروع آزمایش به میزان ۱۱/۸۴ میکرومول بر لیتر بعد از گذشت ۴۸ ساعت به ۱۰/۶۲ میکرومول بر لیتر

¹ Millipor filtration paper

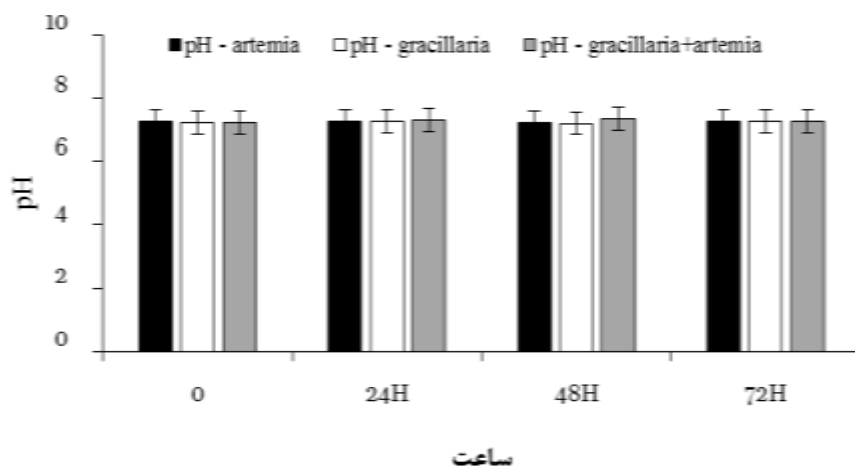
رسید؛ یعنی کاهش برابر ۱۰/۳۸ درصد یعنی نزدیک به ۱۱ درصد از میزان آمونیم کاسته شد و این روند کاهش تا پایان آزمایش نیز وجود داشت به گونه‌ای که در پایان ۷۲ ساعت نسبت به شروع آزمایش میزان آمونیم به ۸/۳۳ میکرومول بر لیتر یعنی ۲۹/۷۰ درصد یا تقریباً ۳۰ درصد کاهش یافت. به عبارت دیگر کارایی جذب و حذف آمونیم در این تیمار ۳۰ درصد بوده است.

در تیمار سوم (آرتمیا) نیز غلظت آمونیم در ساعات مختلف آزمایش اختلاف معنی‌داری را نشان داد ($P < 0/05$)؛ میزان آمونیم در این تیمار با ۱۱/۸۴ میکرو مول بر لیتر در شروع آزمایش به ۱۷/۲۵ میکرومول بر لیتر بعد از ۴۸ ساعت رسید، یعنی افزایشی برابر با ۴۵/۶۹ درصد را نشان داد؛ روند افزایشی آمونیم تا پایان آزمایش یعنی بعد از ۷۲ ساعت نیز وجود داشت، به گونه‌ای در پایان آزمایش میزان آمونیم ۲۳/۶۲ میکرو مول بر لیتر اندازه‌گیری گردید که نسبت به زمان شروع آزمایش از افزایش ۹۹/۴۹ درصدی یعنی تقریباً دو برابر میزان اولیه افزایش یافت.

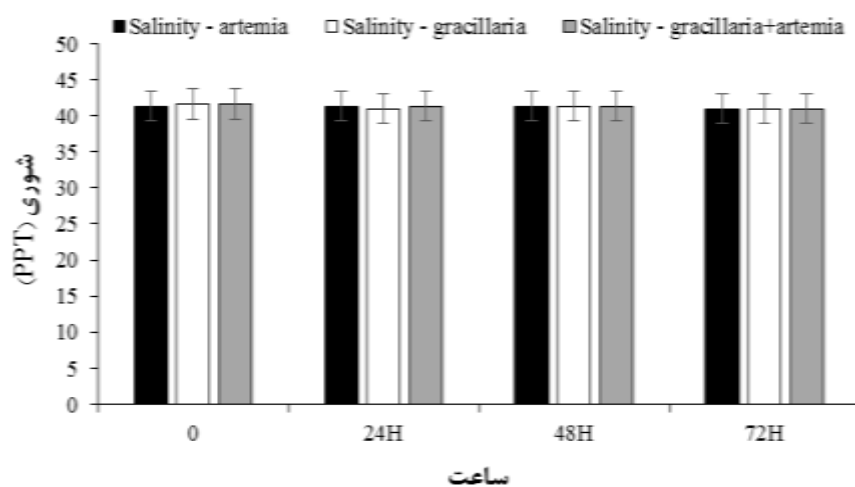
جدول ۱. میانگین فاکتورهای مختلف اندازه‌گیری شده در زمان‌های مختلف در تیمارهای آزمایشی (mean \pm SE)

فاکتور	زمان (ساعت)				تیمار
	۷۲	۴۸	۲۴	صفر	
pH	7/27 \pm 0/06	7/20 \pm 0/00	7/27 \pm 0/06	7/23 \pm 0/06	گراسیلاریا
	7/27 \pm 0/06	7/33 \pm 0/15	7/30 \pm 0/00	7/23 \pm 0/06	گراسیلاریا + آرتمیا
	7/27 \pm 0/06	7/23 \pm 0/06	7/27 \pm 0/06	7/27 \pm 0/06	آرتمیا
شوری	41/00 \pm 0/00	41/33 \pm 0/58	41/00 \pm 0/00	41/67 \pm 0/58	گراسیلاریا
	41/00 \pm 0/00	41.33 \pm 0/58	41/33 \pm 0/58	41/67 \pm 0/58	گراسیلاریا + آرتمیا
	41/00 \pm 0/00	41.33 \pm 0/58	41/33 \pm 0/58	41/33 \pm 0/58	آرتمیا
اکسیژن	5/43 \pm 0/12	5/37 \pm 0/12	5/30 \pm 0/00	5/43 \pm 0/12	گراسیلاریا
	5/37 \pm 0/12	5/30 \pm 0/00	5/43 \pm 0/12	5/43 \pm 0/12	گراسیلاریا + آرتمیا
	5/37 \pm 0/12	5/43 \pm 0/12	5/43 \pm 0/12	5/30 \pm 0/00	آرتمیا
درجه حرارت	27/67 \pm 0/58	27/50 \pm 0/50	27/33 \pm 0/58	27/50 \pm 0/50	گراسیلاریا
	27/83 \pm 0/29	27/83 \pm 0/29	27/17 \pm 0/29	27/67 \pm 0/29	گراسیلاریا + آرتمیا
	28/00 \pm 0/50	27/83 \pm 0/76	28/27 \pm 0/06	28/00 \pm 0/00	آرتمیا
NO ₂	0/001 \pm 0/00 ^c	0/047 \pm 0/01 ^b	0/013 \pm 0/01 ^{ab}	0/03 \pm 0/01 ^a	گراسیلاریا
	0/001 \pm 0/00 ^c	0/027 \pm 0/01 ^b	0/047 \pm 0/01 ^{ab}	0/03 \pm 0/01 ^a	گراسیلاریا + آرتمیا
	0/002 \pm 0/00 ^c	0/023 \pm 0/01 ^b	0/12 \pm 0/01 ^{ab}	0/03 \pm 0/01 ^a	آرتمیا
NO ₃	1/78 \pm 0/01 ^b	1/76 \pm 0/01 ^b	1/52 \pm 0/01 ^c	6/15 \pm 0/01 ^a	گراسیلاریا
	1/71 \pm 0/01 ^d	1/68 \pm 0/01 ^c	2/02 \pm 0/01 ^b	6/15 \pm 0/01 ^a	گراسیلاریا + آرتمیا
	1/73 \pm 0/01 ^c	1/82 \pm 0/01 ^d	2/01 \pm 0/01 ^b	6/15 \pm 0/01 ^a	آرتمیا
NH ₄	13/18 \pm 0/01 ^a	9/14 \pm 0/01 ^d	10/63 \pm 0/01 ^c	11/84 \pm 0/02 ^b	گراسیلاریا
	8/33 \pm 0/02 ^d	10/62 \pm 0/01 ^c	11/32 \pm 0/01 ^b	11/84 \pm 0/01 ^a	گراسیلاریا + آرتمیا
	23/62 \pm 0/01 ^a	17/25 \pm 0/01 ^b	16/57 \pm 0/01 ^c	11/84 \pm 0/01 ^d	آرتمیا
PO ₄	0/42 \pm 0/01 ^b	0/46 \pm 0/01 ^a	0/28 \pm 0/01 ^c	0/18 \pm 0/01 ^d	گراسیلاریا
	0/72 \pm 0/02 ^a	0/64 \pm 0/01 ^b	0/38 \pm 0/01 ^c	0/18 \pm 0/01 ^d	گراسیلاریا + آرتمیا
	1/72 \pm 0/02 ^a	1/27 \pm 0/01 ^b	0/62 \pm 0/01 ^c	0/18 \pm 0/01 ^d	آرتمیا

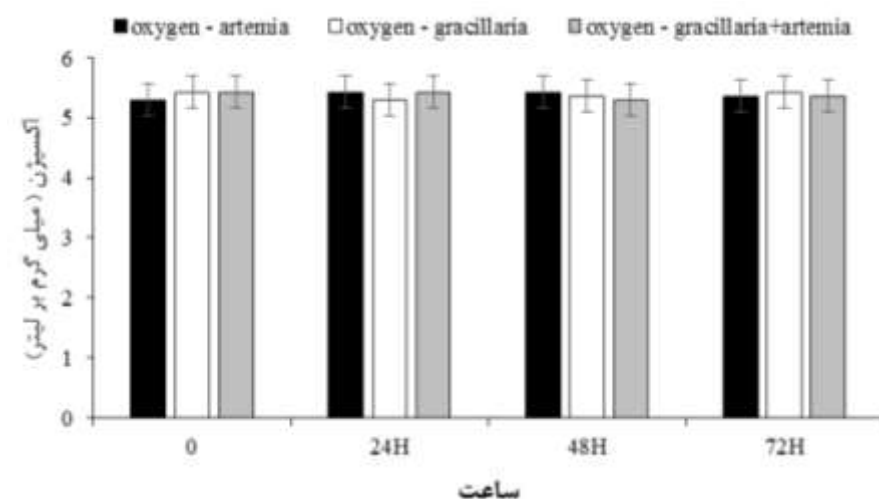
* حروف غیر همسان در بالای اعداد در هر ردیف جدول نشان‌دهنده معنی‌دار بودن در سطح ۹۵ درصد خواهد بود ($P < 0/05$)



شکل ۱. میزان pH در طول دوره آزمایش در تیمارهای مختلف.

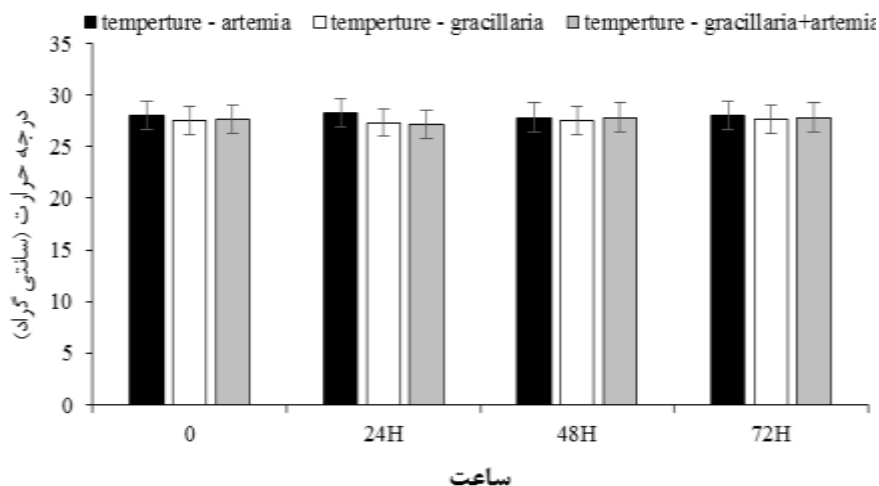


شکل ۲. میزان شوری قسمت در هزار (PPT) در طول دوره آزمایش در تیمارهای مختلف.

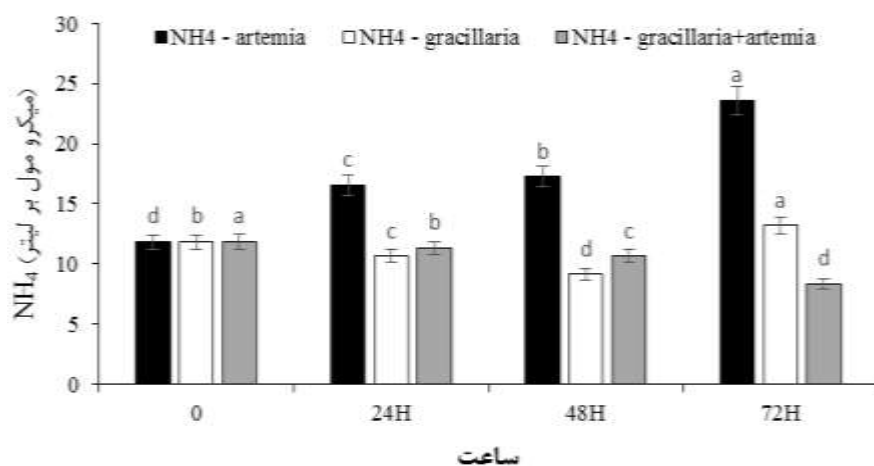


شکل ۳. میزان اکسیژن محلول میلی گرم بر لیتر (mg/L) در طول دوره آزمایش در تیمارهای مختلف.

شکل ۶ میزان نیتريت (NO_2) را در تیمارهای مختلف آزمایشی و در ساعات متفاوت بررسی نشان می دهد و بیانگر آن است که بین تیمارها از نظر پارامتر مذکور اختلاف معنی دار وجود دارد ($P < 0/05$). تیمار سوم (آرتمیا) نسبت به دو تیمار دیگر اختلاف معنی دار داشته ($P < 0/05$) ولی بین تیمار اول (گراسیلاریا) و تیمار دوم (گراسیلاریا + آرتمیا) اختلاف معنی دار از نظر نیتريت مشاهده نگردید ($P > 0/05$).



شکل ۴. میزان درجه حرارت سانتی گراد (°C) در طول دوره آزمایش در تیمارهای مختلف.

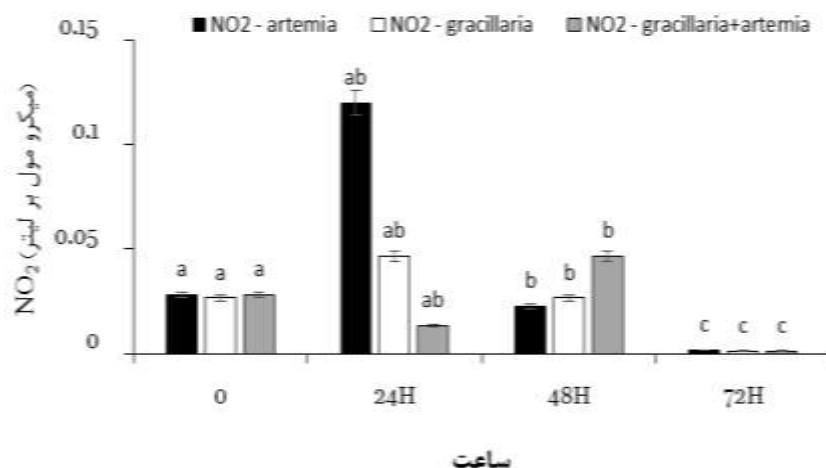


شکل ۵. غلظت آمونیم میکرو مول بر لیتر (µmol/L) در طول دوره آزمایش در تیمارهای مختلف.

در تیمار اول (گراسیلاریا) بین ساعات مختلف آزمایش اختلاف معنی‌دار مشاهده گردید ($P < 0/05$)؛ میزان نیتريت در شروع آزمایش $0/03$ میکرو مول بر لیتر بود که بعد از 48 ساعت به $0/047$ میکرو مول بر لیتر رسید و افزایشی برابر با 56 درصد را از خود نشان داد؛ اما بعد از آن به سرعت کاهش یافته به گونه‌ای که در پایان 72 ساعت به میزان $0/001$ میکرومول بر لیتر رسید و کاهشی برابر با $96/7$ درصد نسبت به شروع آزمایش از خود نشان داد. به عبارت دیگر کارایی حذف نیتريت در این تیمار بیش از 96 درصد بوده است.

در تیمار دوم (گراسیلاریا + آرتمیا) نیز بین ساعات‌های مختلف آزمایش، اختلاف معنی‌داری وجود داشت ($P < 0/05$). غلظت نیتريت در ابتدای آزمایش $0/03$ میکرومول بر لیتر بود که بعد از گذشت 48 ساعت به $0/027$ میکرومول بر لیتر رسید، یعنی کاهشی برابر با 10 درصد را نشان داد. این روند کاهش تا پایان آزمایش ادامه داشت، به گونه‌ای که در انتهای آزمایش میزان نیتريت به $0/001$ میکرومول بر لیتر رسیده که نسبت به زمان شروع آزمایش $96/7$ درصد کاهش را نشان داده است. در این تیمار نیز کارایی حذف نیتريت بیش از 96 درصد می‌باشد.

در تیمار سوم (آرتمیا) نیز اختلاف معنی‌دار در ساعات مختلف آزمایش مشاهده گردید ($P < 0/05$)؛ میزان نیتريت در شروع $0/03$ میکرومول بر لیتر سنجش گردید که بعد از 48 ساعت به $0/023$ میکرومول بر لیتر تنزل یافت و کاهشی برابر با $23/3$ درصد را نشان داد. در پایان آزمایش (پس از 72 ساعت)، غلظت نیتريت به $0/002$ میکرومول بر لیتر رسید که نسبت به شروع آزمایش کارایی حذف آن $93/33$ درصد اندازه‌گیری گردید.



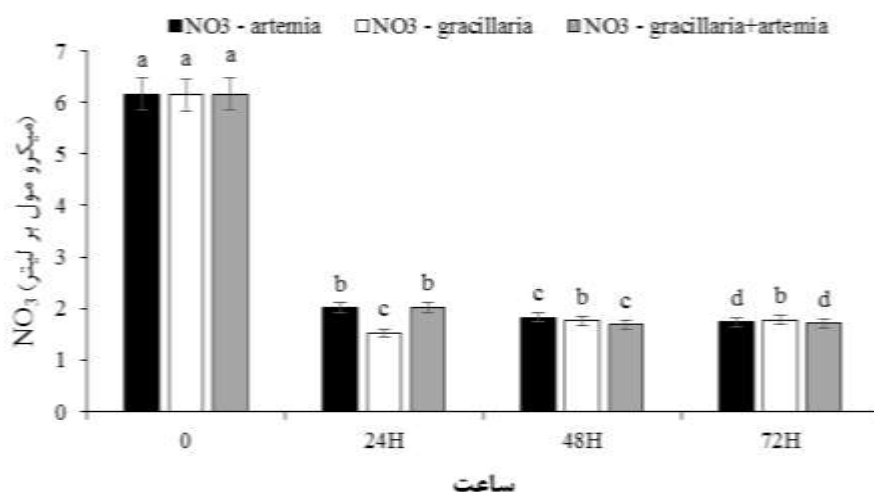
شکل ۶. غلظت نیتريت میکرو مول بر لیتر ($\mu\text{mol/L}$) در طول دوره آزمایش در تیمارهای مختلف.

با توجه به شکل ۷، بین تیمارها از نظر غلظت نیترات اختلاف معنی‌دار وجود دارد ($P < 0/05$). بیشترین میزان در تیمار سوم و کمترین در تیمار دوم بوده است.

در تیمار اول (گراسیلاریا)، بین ساعات مختلف آزمایش اختلاف معنی‌دار مشاهده گردید ($P < 0/05$). در این تیمار میزان نیترات در شروع آزمایش ۶/۱۵ میکرو مول بر لیتر بود که با گذشت زمان و در ۴۸ ساعت بعد از شروع آزمایش به ۱/۷۶ میکرومول بر لیتر (کاهش ۷۱/۳۸ درصد) و در ۷۲ ساعت بعد از زمان شروع به ۱/۷۸ میکرومول بر لیتر (کاهش ۷۱/۰۵ درصد) رسید.

در تیمار دوم (گراسیلاریا+آرتمیا) نیز بین ساعات مختلف اندازه‌گیری اختلاف معنی‌دار از نظر نیترات مشاهده گردید ($P < 0/05$). غلظت این پارامتر در شروع آزمایش ۶/۱۵ میکرو مول بر لیتر بود که بعد از گذشت ۴۸ ساعت به ۱/۶۸ میکرومول بر لیتر (کاهش ۷۲/۶۸ درصد) و بعد از ۷۲ ساعت به ۱/۷۱ میکرو مول بر لیتر (کاهش ۷۲/۱۹ درصد) نسبت به زمان شروع آزمایش رسیده است.

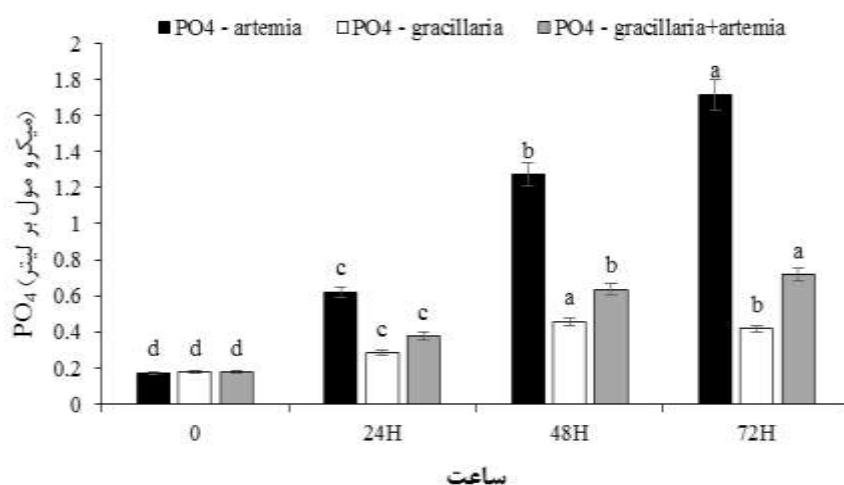
در تیمار سوم (آرتمیا) نیز بین ساعات مختلف آزمایش اختلاف معنی‌دار مشاهده شد ($P < 0/05$). میزان نیترات که در شروع آزمایش ۶/۱۵ میکرومول بر لیتر اندازه‌گیری شده بود، بعد از ۴۸ ساعت به ۱/۸۲ میکرومول بر لیتر و بعد از ۷۲ ساعت به ۱/۷۳ میکرومول بر لیتر رسید؛ یعنی نسبت به زمان شروع آزمایش به ترتیب ۷۰/۴۰ و ۷۱/۸۷ درصد از میزان نیترات کاسته شده است.



شکل ۷. غلظت نیترات میکرو مول بر لیتر ($\mu\text{mol/L}$) در طول دوره آزمایش در تیمارهای مختلف.

شکل ۸ میزان فسفات را در تیمارهای مختلف آزمایشی در ساعات متفاوت بررسی نشان می‌دهد این شکل بیانگر آن است که بین تیمارها از نظر غلظت این پارامتر اختلاف معنی‌دار وجود دارد ($P < 0/05$). تیمار سوم بیشترین و تیمار اول کمترین میزان فسفات را داشته‌اند.

در تیمارهای مورد بررسی اختلاف معنی‌دار بین ساعات‌های مختلف آزمایش مشاهده گردید ($P < 0/05$). در هر سه تیمار با گذشت زمان میزان غلظت فسفات به تدریج افزایش یافت، به گونه‌ای که در تیمار اول (گراسیلاریا) در شروع آزمایش ۰/۱۸ میکرو مول بر لیتر و در پایان ۷۲ ساعت به ۰/۴۲ میکرو مول بر لیتر رسید؛ در تیمار دوم یعنی ترکیب ماکرو جلبک گراسیلاریا و آرتمیا نیز در آغاز آزمایش ۰/۱۸ میکرو مول بر لیتر و در انتهای آزمایش به ۰/۷۲ میکرو مول بر لیتر رسید. در تیمار سوم (آرتمیا) در ساعت شروع بررسی ۰/۱۸ میکرو مول بر لیتر و در پایان ۱/۷۲ میکرومول بر لیتر اندازه‌گیری گردید. در مجموع میزان افزایش فسفات در دو تیمار اول و دوم که ماکرو جلبک گراسیلاریا وجود داشت، میزان افزایش به نسبت خیلی کمتر از تیمار سوم بود.



شکل ۸. غلظت فسفات میکرو مول بر لیتر ($\mu\text{mol/L}$) در طول دوره آزمایش در تیمارهای مختلف.

بحث

پیشرفت صنعت تکنولوژی در جوامع امروزی علاوه بر تحولات مثبت و فواید بی‌شماری که برای بشر به ارمغان آورد، مشکلاتی را نیز گریبان گیر آن‌ها نموده است. ورود آلاینده‌های مختلف از طریق صنایع به محیط‌زیست، از جمله بارزترین این مشکلات می‌باشد (Nriagu *et al.*, 1998). یکی از راهکارهای اجرایی جهت کاهش ورود عناصر مضر ناشی از پساب مزارع پرورشی به دریا استفاده از شاخص‌های زیستی همچون کاشت گونه‌های ماکرو جلبکها در کانال خروجی مزارع پرورش می‌باشد. ماکرو جلبک‌ها به طور گسترده در تأسیسات آبی‌پروری مورد استفاده قرار گرفته‌اند (Marinho-Soriano *et al.*, 2009a,b; Cruz- Suárez *et al.*, 2010; Liu *et al.*, 2010; Yokoyama and Ishihi, 2010; Kang *et al.*, 2011; Skriptsova and Miroshnikova, 2011; Huo *et al.*, 2012) تا بار اضافی مواد غذایی موجود در پساب‌های خروجی را از بین برده و از مخاطرات زیست‌محیطی جلوگیری به عمل آورند.

استفاده از فیلترهای زیستی در سیستم‌های آبی‌پروری به منظور کاهش غلظت مواد مغذی حل شده و نیز ذرات موجود در ستون آب و به دنبال آن کاهش پر غذایی (یوتروفیکاسیون) مورد بررسی قرار گرفته است (Neori *et al.*, 2004). به‌کارگیری موجودات پلایشگر (filter feeder) در مطالعات زیست‌پالایی مزایای متعددی دارد. اولاً آن‌ها ذرات مواد آلی را مصرف نموده و از انتشار مواد مغذی توسط فعالیت باکتری‌ها روی این ذرات در آینده جلوگیری می‌کنند، ثانیاً از فیتوپلانکتون و باکتری تغذیه نموده که از مواد مغذی غیر آلی برای رشدشان استفاده می‌کنند (Qian *et al.*, 2001). ماکرو جلبک‌ها به عنوان استخراج‌کننده‌های غیر ارگانیک، مواد مغذی را بعد از اینکه توسط باکتری‌ها معدنی سازی شدند، حذف خواهند نمود. بنابراین، ظرفیت

فیلتراسیون میکروارگانیسم‌ها ممکن است نقش مهمی در تعادل اکوسیستم آبی ایفا نماید، که از آن جمله می‌توان به کاهش جمعیت فیتوپلانکتون‌ها، افزایش شفافیت و کاهش بار مواد مغذی در ستون آب اشاره کرد.

انتخاب مناسب‌ترین ماکرو جلبک جهت یک سیستم آبی‌پروری، منجر به بهبود زیست‌محیطی شده، همچنین نقش مهمی در دستیابی به پایداری محیط‌زیست ایفا خواهند نمود (Kang et al., 2011). از مهم‌ترین دلایل تنوع در عملکرد بازیافت زیستی ماکرو جلبک‌ها می‌توان به کارایی حذف مواد مغذی خاص و تفاوت در شرایط آزمایشگاهی اشاره نمود (Xu et al., 2011). جلبک‌های دریایی به عنوان بیوفیلترهای ایده‌آل برای منابع نیتروژن و نیز فسفات در پساب آبیان پیشنهاد شده‌اند (Marinho-Soriano et al., 2009a).

در میان اشکال محلول ازت، آمونیوم یکی از محصولات دفعی بی‌مهرگان در محیط‌های آبی می‌باشد (Bracken, 2007). نتایج این مطالعه تأثیر قابل توجه آرتمیا را بر غلظت NH_4 در تیمارهای آزمایشی را نشان داده است. در واقع، سطوح آمونیوم در تیماری که فقط آرتمیا وجود داشت (تیمار ۳) به‌طور قابل توجهی، نزدیک به ۱۰۰٪ بالاتر از غلظت اولیه افزایش یافت (umol L^{-1} ۲۳/۶۲ - ۱۱/۸۴). این افزایش شدید NH_4 در طول آزمایش با باقی‌مانده‌های متابولیک آرتمیا که خود از دسته بندپایان پالایشگر آمونیوتلیک هستند، مرتبط خواهد بود؛ چون بخشی از مواد دفعی آرتمیا نیز به صورت مواد نیتروژن دار است که به فرم NH_3 یا NH_4 خارج می‌شوند (Freire et al., 2008). بالاترین راندمان حذف NH_4 در تیمار ۲ (۲۹/۷ درصد) بود که از ترکیب ماکرو جلبک گراسیلاریا و آرتمیا تشکیل شده بود. این نشان می‌دهد که ذرات نیتروژن‌دار به وسیله فعالیت آرتمیا و نیتروژن غیر آلی محلول توسط گراسیلاریا از محیط حذف شده است. علاوه بر این، با توجه به این که غلظت NH_4 در تیمار ۱، که فقط دارای ماکرو جلبک گراسیلاریا بود، پایین‌تر از تیمار ۲ بود که نشان می‌دهد آرتمیا به‌طور مؤثری ذرات نیتروژن دار را از آب حذف می‌کند. این مطالعه راندمان بالایی برای حذف نیتريت و نیترات را نیز نشان داده است (شکل‌های ۶ و ۷). در تیماری که فقط گراسیلاریا وجود داشت کاهش قابل ملاحظه NO_2 بعد از ۲۴ ساعت (تقریباً ۵۷ درصد) مشاهده شد، در حالی که در تیمارهای ۲ و ۳ افزایش در ۲۴ ساعت اول مشاهده شد. در پایان آزمایش (۷۲ ساعت)، NO_2 در هر سه تیمار به‌طور کامل از ستون آب حذف شد. در یک سیستم آبی‌پروری، کاهش NO_2 امری بسیار مهم است، چون تجمع این ماده مغذی برای آبیان ممکن است سمی باشد. حذف NO_3 در سه تیمار مورد بررسی در این مطالعه حدود ۷۰ درصد و به‌طور کلی بیشتر از مقادیر گزارش شده در پژوهش Neori و همکاران (۲۰۰۴) بوده است. نتایج مطالعه حاضر تقریباً نزدیک به Seema و Jayashankar (۲۰۰۵) است که در آن تحقیق کارایی حذف ترکیبات ازت پساب‌های خروجی استخرهای میگو با استفاده از ماکرو جلبک *Ulva reticulata* ۹۴ درصد و برای تانک‌های پرورش ماهی سیباس با ماکرو جلبک *Ulva rotundata* ۹۷/۷ درصد گزارش شده است.

حذف ترکیبات مختلف ازت از آب، بستگی به نوع ماکرو جلبک نیز خواهد داشت مثلاً Hernández و همکاران (2014) نشان دادند که ماکرو جلبک *Gracilariopsis longissima* که با ماهی *Sparus aurata* کشت داده شده بود فقط ۱۷ درصد از آمونیم را توانست حذف کند. این مقادیر مشابه با مقادیر یافت شده برای تیمار ۱ هستند که در آن فقط از ماکرو جلبک گراسیلاریا استفاده شد. در مطالعه‌ای دیگر، Deviller و همکاران (2013)، با استفاده از دو ماکرو جلبک *Cladophora* و *Enteromorpha* به نرخ حذف ۲۵ درصد برای این ماده مغذی دست یافتند.

در همین زمینه یعنی حذف مواد مغذی ترکیبات ازت، مطالعات دیگری توسط Chung و همکاران (۲۰۰۲) انجام شد که در آن کارایی حذف ۴۰ تا ۹۰ درصد آمونیم با استفاده از *U. lactuca* و ۷۶ درصد با *U. rigida* را به هنگام استفاده از این ماکرو جلبک‌ها در پساب‌های استخرهای پرورش ماهی به دست آورده‌اند. Neori و همکاران (۲۰۰۳) نشان دادند *U. lactuca* کشت داده شده در پساب‌های استخرهای پرورش ماهی می‌تواند ۸۵-۹۰ درصد از کل آمونیاک-نیتروژن را حذف نماید. نتایج مشابهی بر روی ماکرو جلبک‌های *U. pertosa* و *Gracilaria* نیز گزارش شده است که جذب آمونیم بیشتر از NO_3 و NO_2 را نشان می‌دهد (Kang et al., 2011). Mwandya و همکاران (۲۰۰۱) راندمان حذف آمونیم ۶۳ درصد، ۵۸ درصد برای

فسفات و ۵۴ درصد برای نیترات توسط *U. reticulata* کشت شده در پساب ماهیان را گزارش نموده‌اند. به طور کلی جلبک‌های دریایی به عنوان بزرگ‌ترین اولویت برای جذب ترکیبات محلول ازت در مقایسه با سایر مواد مغذی مد نظر هستند (Buschmann and Varela, 2008). بیشتر گونه‌های جلبک دریایی نشان داده‌اند توانایی جذب آمونیم را در شرایط طبیعی بیشتر از نیترات دارند و علت این مسئله آن است که جلبک‌های دریایی قادر هستند آمونیم را به طور مستقیم وارد ترکیب آمینو اسیدهای ساختار خودشان نمایند (Ahn et al., 1998; Shpigel and Neori, 2007).

موجودات پلایسگر مانند آرمیا، NH_4 و PO_4 را دفع می‌کنند (Lauritsen and Mozley, 1989)، و این ترکیبات به عنوان مواد مغذی غیر آلی آماده برای موجوداتی مانند ماکرو جلبک‌ها هستند و می‌توانند این مواد را به راحتی مورد استفاده قرار دهند. در مطالعه کنونی، احتمالاً متابولیسم آرمیا همراه با میزان مواد جامد معلق عامل افزایش غلظت PO_4 در طول آزمایش بوده است. افزایش غلظت PO_4 در تیمار ۲ و ۳ نیز ممکن است به دلیل انتشار سریع مواد دفعی توسط آرمیا در طول آزمایش بوده باشد. Motohashi و Matsudaira (۱۹۶۹) نشان دادند که تغذیه بیش از حد زئوپلانکتون باعث افزایش سریع‌تر انتشار PO_4 به محیط می‌شود. این اتفاق به این علت رخ می‌دهد که مواد دفعی زئوپلانکتون‌هایی مانند آرمیا شامل فسفر آلی است که ناپایدار بوده و زودتر به فسفات تبدیل می‌شود. در مطالعه‌ای که توسط Hwang و همکاران (۲۰۰۴) بر روی دو کفه ای *Carbicula leana* انجام شده است، مشاهده گردید که غلظت فسفات بین ۳۰ تا ۵۰ درصد در مقایسه با تیمار کنترلی افزایش یافته، که این افزایش به واسطه تولید فسفات در سیستم توسط دو کفه ای مزبور بوده است. همچنین Jones و همکاران (۲۰۰۱) در بررسی صدف دو کفه ای اویستر با ماکرو جلبک در پساب خروجی مزارع میگو، بیشترین میزان فسفات را در تیمار دو کفه ای اویستر بدون ماکرو جلبک گزارش نمودند. مشاهدات اولیه نشان داد که دو کفه‌ای‌های دریایی مانند اویستر مواد دفعی حاصل از گوارش و متابولیسم ناقص تولید نموده، بنابراین، اشکال متعدد کربن، نیتروژن و فسفر نیز ممکن است در مواد دفعی این موجودات یافت شود (Dame, 1996). در مطالعه کنونی مشاهده گردید که در تیمارهای ۱ و ۲ که حاوی ماکرو جلبک گراسیلاریا می‌باشند، غلظت PO_4 ، کمتر از تیماری است که فقط از آرمیا استفاده شده بود. این مسئله نشان می‌دهد که ماکرو جلبک‌ها نیز در کاهش PO_4 در ستون آب نقش مهمی بر عهده دارند. صدف دو کفه ای اویستر با ماکرو جلبک در پساب خروجی مزارع میگو، بیشترین میزان فسفات در تیمار دو کفه ای اویستر بدون ماکرو جلبک را گزارش نمودند.

این مطالعه نشان که ماکرو جلبک گراسیلاریا و سخت پوست آرمیا از جمله کاندیداهای بالقوه برای زیست پلایبی نیتروژن هستند. این توانایی به وسیله کاهش قابل توجه نیتروژن در تیمار ۲ ($\text{NH}_4 = 29/7$ درصد؛ $\text{NO}_2 = 100$ درصد و $\text{NO}_3 = 72/19$ درصد) به اثبات رسید، لذا می‌توان این موجودات را به عنوان فیلتر زیستی در صنعت آبی‌پروری پیشنهاد نمود. همچنین این مطالعه ظرفیت فیلترکنندگی زیستی گراسیلاریا را اثبات می‌کند که در کنار آرمیا توانایی بهتری را جهت فرآیندهای زیست پلایبی خواهند داشت. تعامل این موجودات، ساز و کار مؤثر و زیست و محیطی برای بهبود شرایط زیست محیطی سواحل را که مستعد تخلیه پساب‌های آبی‌پروری هستند را نشان می‌دهد.

منابع

- Ahn, O., Petrell, R.J., Harrison, P.J. 1998. Ammonium and nitrate uptake by *Laminaria saccharina* and *Nereocystis luetkeana* originating from a salmon sea cage farm. *Journal of Applied Phycology*. 10: 333-340.
- Beveridge, M.C.M. 1996. *Cage Aquaculture*. 2nd edition. Fishing News Books. Blackwell Science Ltd, Oxford. UK.
- Bracken, M.E.S. 2007. Excretion. In: Denny, M.W., Gaines, S.D. (eds.). *Encyclopedia of tidepools and rocky shores*. University of California Press. California, USA. pp. 215-217.
- Buschmann, A.H., Varela, D.A. 2008. Opportunities and challenges for the development of an integrated seaweed-based aquaculture activity in Chile: determining the physiological capabilities of *Macrocystis* and *Gracilaria* as biofilters. *Journal of Applied Phycology*. 20: 571-577.

- Camara, M.R., Monteiro, P.A., Reis, L.G., Costa, M.F. 2004. Farming *Artemia* in a multi-cycle culture system in Northeastern Brazil. *World Aquaculture*. 35: 40-42.
- Chopin, T., Buschmann, A.H., Troell, M., Kautsky, N., Neori, A., Yarish, C., Neefs, C. 2010. Integrating seaweeds into marine aquaculture systems: a key toward sustainability. *Journal of Phycology*. 37: 975-986.
- Chung, I.K., Kang, Y.H., Yarish, C., Kremer, G.P., Lee, J.A. 2002. Application of seaweed cultivation to the bioremediation of nutrient-rich effluent. *Algae*. 17: 1-10.
- Costa-Pierce, B.A. 2002. *Ecological aquaculture: the evolution of the blue revolution*. Blackwell Science. Oxford. UK.
- Cruz-Suárez, L.E., León, A., Peña-Rodríguez, A., Rodríguez-Peña, G., Moll, B., Ricque-Marie, D. 2010. Shrimp/*Ulva* co-culture: a sustainable alternative to diminish the need for artificial feed and improve shrimp quality. *Aquaculture*. 301: 64-68.
- Dame, R.F. 1996. *Ecology of marine bivalves: an ecosystem approach*. CRC Press, Boca Raton. New York.
- Deviller, G., Aliaume, C., Franco-Nava, M.A., Casellas, C., Blancheton, J.P. 2013. High rate algal pond treatment for water reuse in an integrated marine fish recirculating system: effect on water quality and seabass growth. *Aquaculture*. 235: 331-344.
- Elliott, P., Aldridge, D.C., Moggridge, G.D. 2008. Zebra mussel filtration and its potential uses in industrial water treatment. *Water Research*. 42: 1664-1674.
- Freire, C.A., Onken, H., McNamara, J.C. 2008. A structurefunction analysis of ion transport in crustacean gills and excretory organs. *Comparative Biochemistry and Physiology*. 151: 272-304.
- Funge-Smith, S.J., Briggs, M.R.P. 1998. Nutrient budgets in intensive shrimp ponds: Implications for sustainability. *Aquaculture*. 164: 117-133.
- Giangrande, A., Cavallo, A., Licciano, M., Mola, E., Pierri, C., Trianni, L. 2005. Utilization of the filter feeder *Sabella spallanzani* as bioremediator in aquaculture. *Aquaculture International*. 13: 129-136.
- Hernández, I., Fernández-Engo, M., Pérez-Lloréns, J., Vergara, J. 2014. Integrated outdoor culture of two estuarine macroalgae as biofilters for dissolved nutrients from *Sparus auratus* waste waters. *Journal of Applied Phycology*. 17: 557-567.
- Huo, Y., Wu, H., Chai, Z., Xu, S., Han, F., Dong, L., He, P. 2012. Bioremediation efficiency of *Gracilaria verrucosa* for an integrated multi-trophic aquaculture system with *Pseudosciaena crocea* in Xiangshan harbor, China. *Aquaculture*. 235: 326-329.
- Hwang, S.J., Kim, H.S., Shin, J.K., Oh, J.M., Kong, D.S. 2004. Grazing effects of a freshwater bivalve (*Corbicula leana* Prime) and large zooplankton on phytoplankton communities in two Korean lakes. *Hydrobiologia*. 515: 161-179.
- Jones, A.B., Dennison, W.C., Preston, N.P. 2001. Integrated of shrimp effluent by sedimentation, oyster filtration and macroalgas absorption: a laboratory scale study. *Aquaculture*. 193: 155-178.
- Kang, Y.H., Park, S.R., Chung, I.K. 2011. Biofiltration efficiency and biochemical composition of three seaweed species cultivated in a fishseaweed integrated culture. *Algae*. 26: 97-108.
- Lauritsen, D.D., Mozley, S.C. 1989. Nutrient excretion by the Asiatic Clam *Corbicula fluminea*. *The North American Benthological Society*. 8: 132-139.
- Lavens, P., Sorgeloos, P. 1996. *Manual on the production and use of live food for aquaculture*. FAO Fisheries Technical Paper No. 361. 295 p.
- Lenz, P.H., Browne, R.A. 1991. Ecology of *artemia*. In: Browne, R.A., Sorgeloos, P., Trotman, C.N.A. (eds.). *Artemia Biology*. CRC Press, Boca Raton, Florida, USA. pp. 237-253.
- Licciano, M., Stabilli, L., Giangrande, A. 2005. Clearance rates of *Sabella spallanzanii* and *Branchiomma luctuosum* (Annelida: Polychaeta) on a pure culture of *Vibrio alginolyticus*. *Water Research*. 39: 4375-4384.
- Liu, J., Wang, Z., Lin, W. 2010. De-eutrophication of effluent wastewater from fish aquaculture by using marine green alga *Ulva pertusa*. *Chinese Journal of Oceanology and Limnology*. 28: 201-208.

- Marinho-Soriano, E., Nunes, S.O., Carneiro, M.A.A., Pereira, D.C. 2009a. Nutrients' removal from aquaculture wastewater using the macroalgae *Gracilaria birdiae*. *Biomass Bioenergy*. 33: 327-331.
- Marinho-Soriano, E., Panucci, R.A., Carneiro, M.A.A., Pereira, D.C. 2009b. Evaluation of *Gracilaria caudata* J. Agardh for bioremediation of nutrients from shrimp farming wastewater. *Bioresource Technology*. 100: 6192-6198
- Milanese, M.E., Chelossi, E., Manconi, R., Sara, A., Sidri, M., Pronzato, R. 2003. The marine sponge *Chondilla nucula* Schmidt, 1862 as an elective candidate for bioremediation in integrated aquaculture. *Biomolecular Engineering*. 20: 363-368.
- Motohashi, K., Matsudaira, C. 1969. Some problems relating to phosphate regeneration and oxygen consumption in seawater e Phosphate regenerated by zooplankton during excessive grazing. *Tohoku Journal of Agricultural Research*. 20: 81-88.
- Mwandya, A.W., Mtolera, M., Pratap, H.B., Jiddawi, N.S. 2001. Macroalgae as biofilters of dissolved inorganic nutrients in an integrated mariculture tank system in Zanzibar. In: Richmond, M.D., Francis, J. (eds.). *Marine Science Development in Tanzania and Eastern Africa*. pp. 159-170. Proceedings of the 20th Anniversary Conference on Advances in Marine Science in Tanzania, 28th June -1st July 1999, Zanzibar, Tanzania. Publ. IMS/WIOMSA.
- Neori, A., Chopin, T., Troell, M., Buschmann, A.H., Kraemer, G.P., Halling, G., Shpigel, M., Yarish, C. 2004. Integrated aquaculture: rationale, evolution and state of the art emphasizing seaweed biofiltration in modern aquaculture. *Aquaculture*. 231: 362-391.
- Neori, A., Msuya, F.E., Shauli, L., Schuenhoff, A., Kopel, F., Shpigel, M. 2003. A novel three stage seaweed (*Ulvalactuca*) bifilterdesign for integrated mariculture. *Journal of Applied Phycology*. 15. 543-553.
- Nriagu, J.O., Wong, H.K.T., Lawson, G. 1998. Saturation of ecosystems with toxic metals in Sudbery basin, Ontario, Canada. *Science of Total Environment Journal*. 233: 99-117.
- Qian, P.Y., Wu, C.Y., Wu, M., Xie, Y.K. 2012. Integrated cultivation of the red alga *Kappaphycus alvarezii* and the pearl oyster *Pinctada martensi*. *Aquaculture*. 147: 21-35.
- Qian, P.Y., Wu, M.C.S., Ni, I.H. 2001. Comparison of nutrients release among some maricultured animals. *Aquaculture*. 200: 305-316.
- Seema, C., Jayashankar, R. 2005. Removal of nitrogen load in the experimental culture system of seaweed and shrimp. *Journal of the Marine Biological Association of India*. 47(2): 150-153.
- Shpigel, M., Neori, A. 2007. Microalgae, macroalgae, and bivalves as biofilters in land-based mariculture in Israel. Chapter 24. In: Bert, T.M. (ed.). *Ecological and Genetic Implications of Aquaculture Activities*. Dordrecht, Springer. pp. 433-446.
- Silva, P.C., Basson, P.W., Moe, R.L. 1996. *Catalogue of the Benthic Marine Algae of the Indian Ocean*. University of California Press. 1259 p.
- Skriptsova, A.V., Miroshnikova, N.V. 2011. Laboratory experiment to determine the potential of two macroalgae from the Russian Far-East as biofilters for integrated multi-trophic aquaculture (IMTA). *Bioresource Technology*. 102: 3149-3154.
- Sohrabipour, J., Rabii, R. 1999. A list of marine algae of sea shores of the Persian Gulf and Oman Sea in the Hormozgan Province. *The Iranian Journal of Botany*. 8(1): 131-162. (in Persian)
- Stabilli, L., Licciano, M., Giangrande, A., Longo, C., Mercurio, M., Marzano, C.N., Corriero, G. 2006. Filtering activity of *Spongia officinalis* var. *adriatica* (Schmidt) (Porifera, Demospongiae) on bacterioplankton: implications for bioremediation of polluted seawater. *Water Research*. 40: 3083-3090.
- Stabilli, L., Licciano, M., Longo, C., Corriero, G., Mercurio, M. 2008. Evaluation of microbiological accumulation capability of the commercial sponge *Spongia officinalis* var. *adriatica* (Schmidt) (Porifera, Demospongiae). *Water Research*. 42: 2499-2506.
- Strickland, J.D.H., Parsons, T.R. 1972. *A practical handbook of seawater analysis*. 2nd edition. Fishery and Research Board of Canada Bulletin. Ottawa. Canada.
- Xu, D., Gao, Z., Zhang, X., Qi, Z., Meng, C., Zhuang, Z., Ye, N. 2011. Evaluation of the potential role of the macroalga *Laminaria japonica* for alleviating coastal eutrophication. *Bioresource Technology*. 102: 9912-9918.

- Yokoyama, H., Ishihi, Y. 2010. Bioindicator and biofilter function of *Ulva* spp. (Chlorophyta) for dissolved inorganic nitrogen discharged from a coastal fish farm—potential role in integrated multi-trophic aquaculture. *Aquaculture*. 310: 74-83.
- Zar, J.H. 2009. *Biostatistical Analysis*. 5th edition. Prentice Hall, Upper Saddle River, New Jersey.